

태양광/풍력 복합발전의 보조 전력발생장치 개발에 대한 연구

박세준*, 윤필현*, 임중열**, 이정일***, 차인수*

*동신대학교 전기전자공학과, **남부대학교 컴퓨터전기공학과, ***송원대학 디지털전기정보과

A Study on the Sub Power Generator for Photovoltaic/Wind Hybrid System

Se-Jun Park*, Pil-Hyun Yoon*, Jung-Yeol Lim**, Jeong-Il Lee***, *In-Su Cha

*Dept. of Electrical & Electronics Eng. Dongshin University

**Dept. of Computer & Electronic Eng. Nambu University

***Dept. Of Digital Electrical Information Songwon College

ABSTRACT

The developments of the hybrid energy are necessary since the future alternative energies that have no pollution and no limitation are restricted. Currently power generation system of MW scale has been developed.

However, even photovoltaic system cannot always generate stable output with ever-changing weather condition. In this paper, sub power generator for hybrid system(photovoltaic 500[W], wind power generation 400[W]) was suggested.

Sub power Generator that uses elastic energy of spiral spring to photovoltaic system was also added for the present system. In an experiment, when output of photovoltaic system gets lower than 24[V] (charging voltage), power was continuously supplied to load through the inverter by charging energy obtained from generating rotary energy of spiral spring operates in DC generator. Also, control algorithm of sub power generator is used genetic algorithm(GA).

1. 서 론

화석 에너지 고갈 현상과 그 사용으로 인한 환경 오염문제를 해결하기 위해 대체에너지의 개발과 보급이 전 세계적으로 대두되고 있다. 현 시대의 대표적인 대체에너지원은 태양광발전과 풍력발전을 꼽을 수 있다. 태양광발전과 풍력발전은 현재 전 세계 곳곳에 대단위로 발전이 되고 있으며, 그 이

용 가치도 단연 으뜸이라 할 수 있다.

본 논문에서는 이 두 에너지를 복합하여 서로간의 단점을 보완하고, 또한 축전지를 이용하여 전력을 지속적이고 안정하게 공급하는 기존의 방식과는 달리 스프링의 탄성에너지를 이용한 보조 전력발생장치를 이용하여 복합발전의 출력 안정성을 꾀하였다. 실험에 사용된 태양광발전은 500W이고 풍력발전은 400W로 설계하였고, 보조 전력발생장치에 적용된 스프링의 재질은 STC-5이며, 제어기법은 GA(Genetic Algorithm)을 이용한 Fuzzy 제어를 사용하였다.

2. 에너지의 특성

2.1 태양광발전 시스템

태양전지 시스템은 그 구조가 비교적 단순하기 때문에 다른 시스템 방식에 비하여 점검·보수가 용이하다는 장점을 가지고 있다. 그러나 이와는 반대로 태양전지 시스템의 단점은 태양전지의 가격이 고가이고 외부 환경에 대한 영향이 크고 에너지밀도가 희박하여 태양모듈을 설치하는데 있어서 넓은 면적의 장소가 필요하며 자연 및 기상조건에 좌우되고, 1일 중에서도 빛의 방사 및 도달정도에 따라서 전기의 출력량이 다르다. 또한, 태양전지에서 출력되는 형태가 직류이기 때문에 교류전원에는 반드시 인버터가 필요하다. 태양전지는 출력 전력을 축적하는 기능을 가지고 있지 않기 때문에 축전지와 같은 전력저장시스템이 필요하다.

그림 1은 광기전력효과(Photovoltaic Effect)를 이용한 태양전지의 등가회로를 보여주고 있다. 이상적인 경우, 광 투사시의 전압 전류 특성은

$$I = I_{ph} - I_0 \left[\exp\left(\frac{qV}{nKT}\right) - 1 \right] \quad (1)$$

이 되지만, 실제로는 직렬 저항 R_s 와 병렬 저항 R_{sh} 가 가해져 그림 1과 같이 되고

$$I = I_{ph} - I_0 \left[\exp\left(\frac{q(V+IR_s)}{nKT}\right) - 1 \right] - \frac{V+IR_s}{2} \quad (2)$$

가 된다. 여기서, I 는 출력전류, I_{ph} 는 광전류, I_0 은 다이오드 포화전류, n 은 다이오드 상수, K 는 볼츠만 상수이고 q 는 전자 1개의 전하이다. 이를 전압 전류 특성 곡선으로 나타내면 그림 3과 같다.

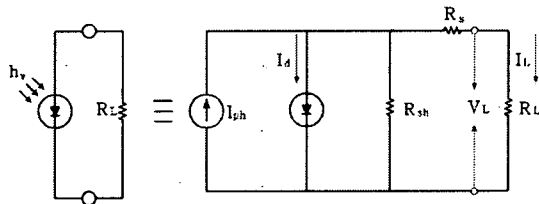


그림 1. 태양전지의 등가회로

Fig. 1 Equivalent circuit of solar cell

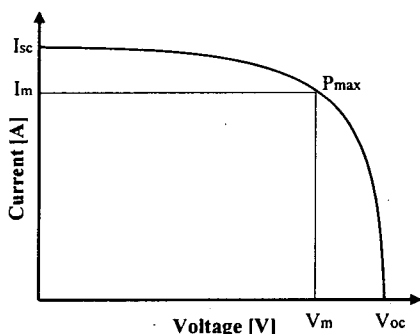


그림 2. 태양전지의 전압, 전류곡선

Fig. 2. Volatage and current curve solar cell

그림 2에서 개방 전압 V_{oc} , 단락전류 I_{sc} , 곡선 인자 FF (Fill Factor)등 3개의 변수는 에너지 변환 효율과 관련되는 파라미터로서, 우선 개방전압은

$$V_{oc} = \frac{nKT}{q} \ln \left(\frac{I_{ph}}{I_0} + 1 \right) \quad (3)$$

이 되고, 단락전류는

$$I_{sc} = I_{ph} - I_0 \left[\exp\left(\frac{qIR_s}{nKT}\right) - 1 \right] \quad (4)$$

이 된다.

2.2 풍력발전시스템

풍력발전시스템의 경우 기계적인 에너지를 전달해 주는 전달장치의 효율 η_m , 발전기의 효율 η_g 를 포함하게 된다.

따라서 바람으로부터 얻을 수 있는 풍력발전시스템의 전기적인 에너지, P_e 는 다음과 같다.

$$P_e = C_p \eta_m \eta_g P_w = C_p \eta_m \eta_g \frac{1}{2} \rho V^3 A \quad (5)$$

그러나, 실제 풍력발전시스템의 운전시에는 시스템의 기계적 관성, 마찰 및 전기적 손실 등에 의해 시동풍속 V_c 이상의 풍속에서만 시스템이 출력되고 정격풍속 V_R 에서의 정격출력 P_r 까지 V^3 에 비례하여 출력이 나타나며, 그 이상의 풍속에서는 시스템의 출력이 일정하게 유지된다. 또, 종단풍속 V_F 에서 시스템의 보호를 위해 출력을 멈추게 된다. 그림 3은 일반적인 풍력발전시스템의 출력 특성모델을 보이고 있다.

앞에서 언급한 바와 같이 바람은 순간적으로 특성이 변하므로 바람으로부터 얻을 수 있는 에너지는 쉽게 구할 수 없다. Weibul 분포를 이용하여 바람으로부터 얻을 수 있는 평균 에너지양 \bar{P}_w 는 다음과 같다.

$$\bar{P}_w = \frac{1}{2} \rho A \int_0^\infty V^3 P(V) dV \quad (6)$$

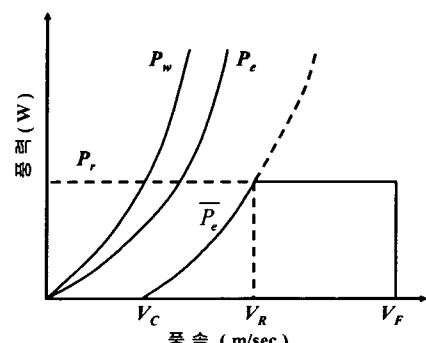


그림 3. 풍력발전기의 출력 특성

Fig. 3. Output characteristic of wind power generator

또한, 회전자의 동력계수, 기계적 전달효율 및 발전효율 등이 포함되어 있는 (5)에 의해서 풍력발전 시스템의 평균 풍력에너지 $\overline{P_e}$ 는 다음 (7)과 같다.

$$\overline{P'_e} = \frac{1}{2} \rho A \int_0^{\infty} C_p \eta_m \eta_g V^3 P(V) dV \quad (7)$$

그러나, (7)에는 실제 시스템의 효율 등은 고려되었으나 평균 출력에너지에 영향을 미치는 시스템의 운전특성은 고려되어 있지 않으므로 실제의 시스템 운전특성을 모델화한 그림 1에 의해 풍력발전시스템의 실제 평균 출력에너지 $\overline{P_e}$ 는 다음과 같다.

$$\begin{aligned}\overline{P}_e = & \frac{1}{2} \rho A \int_{V_c}^{V_R} C_p \eta_m \eta_g V^3 P(V) dV \\ & + \frac{1}{2} \rho A C_p \eta_m \eta_g V_R^3 \int_{V_R}^{V_F} P(V) dV \\ & + \frac{1}{2} \rho A C_p \eta_m \eta_g V_R^3 \int_{V_p}^{V_F} P(V) dV\end{aligned}\quad (8)$$

즉, 시동풍속 V_c 에서 정격풍속 V_R 까지는 V^3 으로 증가하며, 동력계수 및 각 효율은 풍속 V 와 회전자의 회전수에 관계하여 값이 결정되지만, 정격풍속 V_R 에서 종단풍속 V_F 까지는 그림 1에서 보인 모델과 같이 풍력에너지가 일정하게 유지되므로 $C_p \eta_m \eta_g V_R^3$ 의 값은 풍속 V 에 무관하게 일정한 값을 갖게 된다.

3. 시스템의 구성

복합발전시스템의 구성은 태양광(500W), 풍력(400W), 그리고 복합발전 시스템으로부터 나오는 출력을 안정하게 해주는 컨버터, 부하로 들어가는 전력을 상용전원으로 변환하여주는 인버터, 마지막으로 본 논문에서 제안된 보조 전력발생장치로 구성되어 있다. 그림 4는 전체 시스템의 구성도이다.

태양광/풍력 복합발전시스템으로부터의 출력은 서로의 역전류를 방지하기 위한 다이오드를 통하여 제어회로로 전달된다. 마이크로프로세서(PIC16F84)를 사용한 제어회로에서는 기준전압과 비교하여 기준전압보다 출력이 높으면 컨버터와 인버터를 통하여 부하에 전력을 공급하고 DC 모터를 구동하여 스프링을 감다둔다. 만약 일시적인 기상조건의 변화로 출력

이 기준전압보다 낮아지면 감아두었던 스프링이 풀리면서 DC 발전기를 구동하여 전력을 발생시킨다.

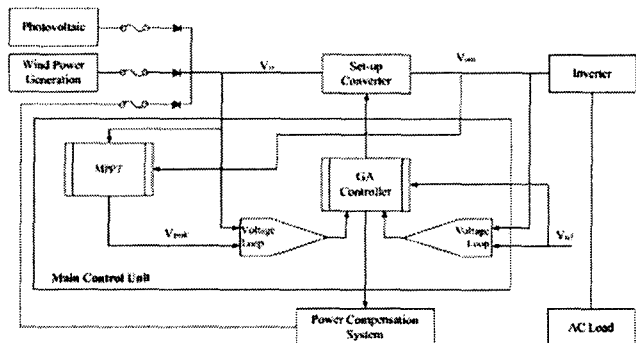


그림 4. 전체시스템의 블록선도

Fig. 4 Block diagram of system

스프링의 탄성에너지를 이용한 보조 전력발생장치는 DC 모터 (TD8025G-12, 12[V], 2.5[A], 25[W], 300[rpm])와, 스프링(STC-5), 제어회로, 회전센서 등으로 이루어져 있다. 복합발전 시스템이 정상적으로 발전을 할 때 DC 모터를 이용하여 스프링을 감아 두었다가, 기상 조건의 변화로 출력이 기준전압인 24V보다 낮을 경우 스프링의 탄성에너지를 이용하여 발전기를 구동시킨다. 표 1은 보조 전력발생장치의 사양이다.

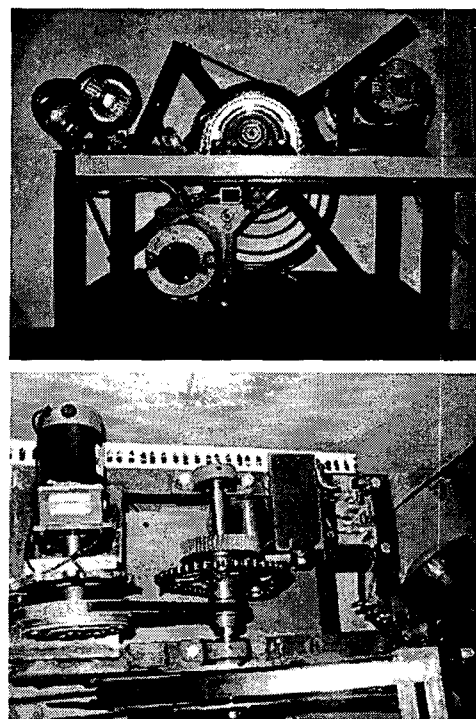


그림 5 보조 전력발생장치 사진

Fig. 5 Power compensation apparatus

표 1. 보조 전력발생장치의 사양

table 1. The specification of sub power generator

Maximum power	240[W]
Maximum voltage	24[V]
Maximum current	10[A]

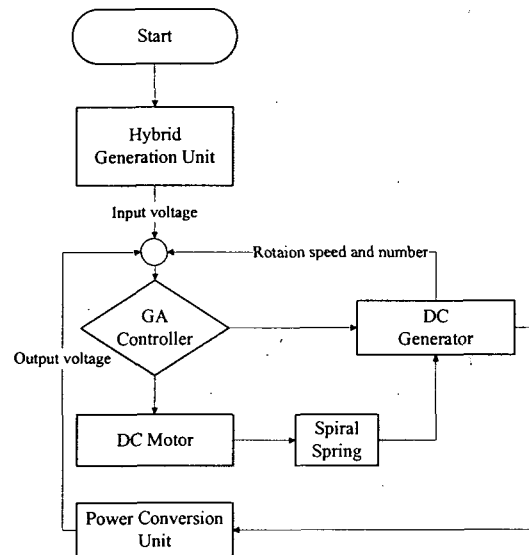
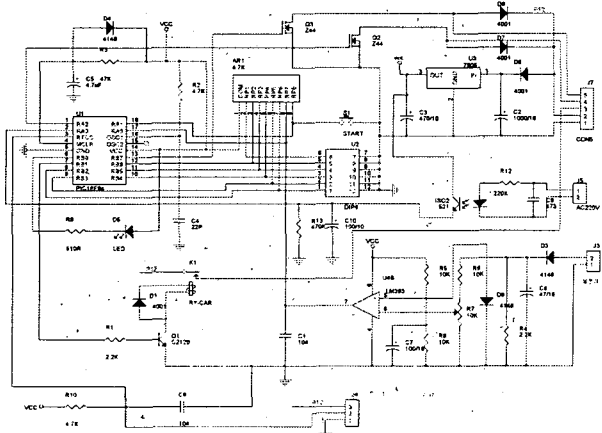


그림 6. 제어의 플로차트

Fig. 6 Flowchart of control

4. 시뮬레이션 및 실험

그림 9는 마이크로 프로세서의 회로, 전원 공급장치, 복합발전시스템의 출력 단자, 비교기, DC 모터를 구동시키는 릴레이, 회전센서로 구성된 회로도이다. PIC와 비교기는 레귤레이터(7805)로부터의 출력 5V를 사용한다.



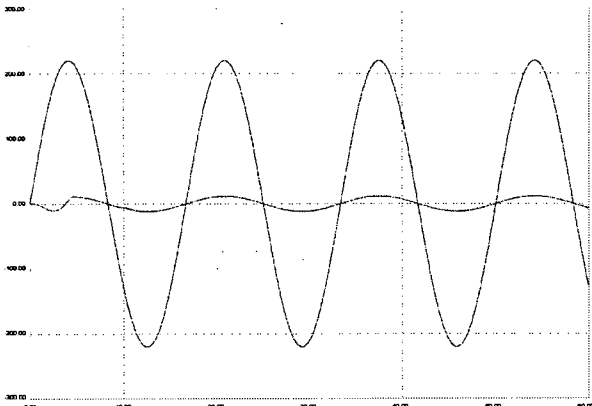


그림 9. 인버터의 회로도와 시뮬레이션 파형
Fig. 9. The circuit and the waveform of the inverter

표 2. 인버터의 사양

Table 2. The specification of inverter

Output voltage	AC 220 [V]
Output power	1 [kVA]
Output frequency	60 [Hz]
Type	PWM
Maximum efficiency	91 [%]

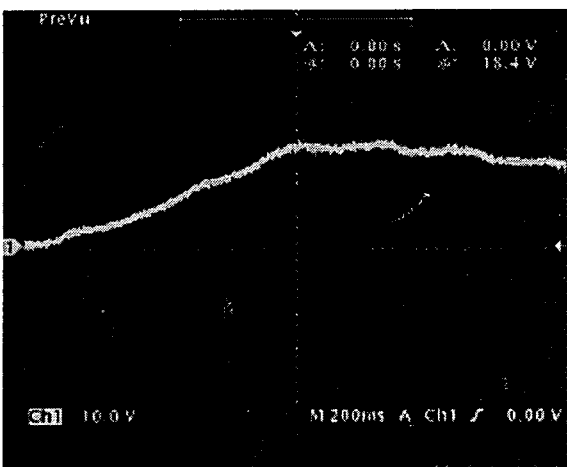


그림 10. 보조 전력발생장치의 출력파형
Fig. 10. Waveform of the sub power generator

의 발전 시설 혹은 축전설비 없이는 독립적으로 지속적인 발전을 할 수 없다.

본 논문에서는 이러한 단점을 고려하여 상호 보완 효과가 있는 태양광과 풍력을 복합하여 태엽 스프링의 탄성에너지를 이용한 보조 전력발생장치를 추가 하여 연구하였다. 그 결과 태양이 구름에 일시적으로 가리거나 바람이 일정하게 불지 않는 조건에서 전력을 보상해주어 축전지 없이 부하에 전력을 공급할 수 있었다. 그러나 현재 제작한 보조 전력발생장치는 태엽 스프링의 풀림을 기계적으로 제어하지 못하기 때문에 풀리는 시간이 5분 정도로 독립적으로 사용하기에는 부족함이 아직 많다.

하지만, 태엽 스프링의 재질 개선과 일정한 속도로 풀리게 하는 제어, 그리고 여러 개의 스프링을 병렬로 연결하여 개별적으로 풀리게 함으로써 전력을 보상해주는 시간을 늘릴 수 있다면 완전한 독립적인 발전시스템으로 이용이 가능할 것이다.

이 논문은 에너지관리공단 2002에너지학술진흥
2002-N-PV03-P-03-0-000에 의하여 연구되었음.

참 고 문 헌

- [1] Jung-Yeol Lim, Byeong-Bok Kang, In-Su Cha. (2002) A Study on the Characteristic of the Combined Generation System by Solar and Wind Energy with Power Storage Apparatus for the Geographical Features. Journal of Power Electronics, Vol 2, No. 1, January 2002.
- [2] Jeong Il Lee, Jang-Su Suh, Byeong-Bok Kang, In-Su Cha. (2002) Development of combined generation systems that power storage apparatus is applied. KIEE. Vol. 51P, No. 4, DEC. 2002.
- [3] Youkihiro Mori, (1987) "Methods for Estimating the Mean and the Standard Deviation of Wind Direction", Journal of Climate and Applied Meteorology, vol. 26, 1987.
- [4] Paul Batcheller, Ziyad Salameh, (1993) "Microprocessor controlled maximum power point tracker for photovoltaic systems", The 1993 American Solar Energy Society Annual Conference, pp. 101-104, 1993.
- [5] Gwonjong Yu, Jinsoo Song, (1995) "Development of Power Converter for Photovoltaic System", Japan-Korea Joint Seminar on TECHNICAL DIGEST PHOTOVOLTAICS, pp. 247-254, 1995.

5. 결 론

현재의 태양광/풍력 복합발전시스템은 작은 기상조건의 변화에도 출력이 불안정하여 상용전원과의 계통과 보조